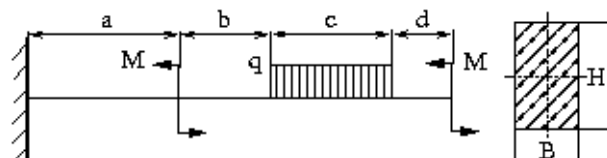


### 3.3 Řešené příklady

#### Příklad 1:

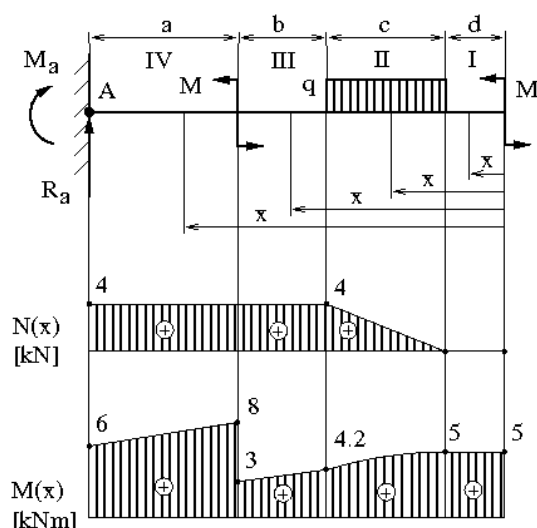
Pro nosník na obrázku vyšetřete a zakreslete reakce,  $T(x)$  a  $M(x)$ . Dále určete  $M_{max}$  a proveďte dimenzování pro zadaný průřez.

Dáno:  $a = 0.5$  m,  $b = 0.3$  m,  $c = 0.4$  m,  $d = 0.2$  m,  $q = 10$  kN/m,  $M = 5$  kNm,  $H/B = 1.5$ ,  $\sigma_k = 300$  MPa,  $k = 1.5$ .



Obrázek 1

#### Řešení:



Obrázek 2

Podle zadání úlohy nejprve vyšetříme reakce vznikající ve vetknutí nosníku. Vzhledem k charakteru vnějšího zatížení je zřejmé, že ve vetknutí vzniknou pouze dvě nenulové reakce. Označme je  $R_A$ ,  $M_A$  a zvolme jejich orientaci např. podle obr. 2. Pak podle silové podmínky rovnováhy ve svislém směru platí

$$R_A - qc = 0 \Rightarrow R_A = qc = 4000 \text{ N.} \quad (1)$$

Reakci  $M_A$  určíme např. z momentové podmínky rovnováhy např. k bodu A (viz obr. 2)

$$\begin{aligned} M_A - M + qc \left( a + b + \frac{c}{2} \right) - M &= 0 \Rightarrow \\ \Rightarrow M_A = 2M - qc \left( a + b + \frac{c}{2} \right) &= 6000 \text{ Nm.} \quad (2) \end{aligned}$$

Nyní přistoupíme k vyšetřování vnitřních silových účinků  $T(x)$  a  $M(x)$ . Podle typu uložení a charakteru vnějších zatěžujících účinků rozdělíme nosník na pole, ve kterých popíšeme  $T(x)$  a  $M(x)$  jedinými funkcemi. Provedme tedy rozdělení podle obr. 2 na pole I - IV. Vzhledem k tomu, že se jedná o nosník vetknutý, je vhodné volit nezávisle proměnnou  $x$  ve všech polích od volného konce - viz obr. 2.

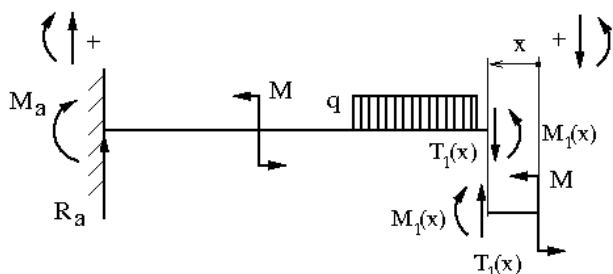
#### Pole I: $x \in \langle 0, d \rangle$

Vnitřní účinky určíme pomocí podmínek rovnováhy mezi vnitřními a vnějšími účinky. Provedme řez v místě  $x$  v poli I (viz obr. 3). Vzhledem k tomu, že nosník byl před provedením řezu ve stavu statické rovnováhy, musí být i každá z jeho oddělených částí také

## OHYB (Napjatost)

Autoři: F. Plánička, M. Zajíček, V. Adámek

v rovnováze, tj. v řezu vzniknou příslušné vnitřní účinky  $T_1(x)$  a  $M_1(x)$  (viz obr. 3), které uvedou oddělené části nosníku opět do stavu rovnováhy.



Obrázek 3

Ze silové podmínky rovnováhy ve svislém směru na části nosníku vpravo od řezu plyne

$$T_1(x) = 0. \quad (3)$$

Podle momentové podmínky k řezu v místě  $x$  platí

$$M_1(x) - M = 0 \Rightarrow M_1(x) = M = 5 \text{ kNm}. \quad (4)$$

K určení  $T_1(x)$  a  $M_1(x)$  samozřejmě můžeme

využít také podmínky rovnováhy pro část nosníku vlevo od řezu, které mají tvar

$$\begin{aligned} T_1(x) + qc - R_A &= 0, \\ M_1(x) + qc \left( d + \frac{c}{2} - x \right) + M - M_A - R_A(a + b + c + d - x) &= 0. \end{aligned} \quad (5)$$

Pro hledané vnitřní silové účinky potom můžeme psát

$$\begin{aligned} T_1(x) &= R_A - qc = qc - qc = 0, \\ M_1(x) &= M_A + R_A(a + b + c + d - x) - M - q \left( d + \frac{c}{2} - x \right) = \\ &= 2M - qc \left( a + b + \frac{c}{2} \right) + qc(a + b + c + d - x) - M - qc \left( d + \frac{c}{2} - x \right) = \\ &= M = 5 \text{ kNm}. \end{aligned} \quad (6)$$

Výsledky získané z podmínek rovnováhy levé a pravé části nosníku se samozřejmě musí shodovat. Průběhy nalezených funkcí  $T_1(x)$  a  $M_1(x)$  v prvním poli jsou znázorněné na obr. 2.

Hledané funkce  $T_1(x)$  a  $M_1(x)$  lze také určit přímo pomocí metody řezu. Stačí pouze zavést znaménkovou úmluvu uvedenou v kap. 3.1, a potom  $T_1(x)$  a  $M_1(x)$  můžeme určit jako součet příslušných vnějších účinků po levé či pravé straně řezu při respektování odpovídající části znaménkové úmluvy<sup>1</sup>. Při vyšetřování  $T(x)$  a  $M(x)$  v dalších polích již nebudeme využívat podmínek rovnováhy, ale tvar těchto funkcí určíme přímo metodou řezu.

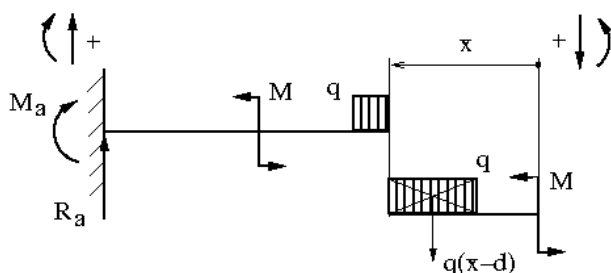
### Pole II: $x \in \langle d, c + d \rangle$

Z obr. 4 je zřejmé, že  $T_2(x)$  a  $M_2(x)$  v tomto poli snáze určíme pomocí sčítání příslušných vnějších účinků vpravo od řezu v místě  $x$ , tj. s využitím pravé části znaménkové konvence (viz obr. 4). Potom

<sup>1</sup>Povšimněte si, že levá, resp. pravá, část znaménkové úmluvy je totožná s orientací vnitřních účinků při využití podmínek rovnováhy na části nosníku vpravo, resp. vlevo, od řezu.

## OHYB (Napjatost)

Autoři: F. Plánička, M. Zajíček, V. Adámek



Obrázek 4

$$\begin{aligned} T_2(x) &= q(x-d), \\ M_2(x) &= M - q(x-d) \frac{x-d}{2} = \\ &= M - q \frac{(x-d)^2}{2}. \end{aligned} \quad (7)$$

Ze vztahů (7) vyplývá, že  $T(x)$  je v poli II popsána lineární funkcí, zatímco  $M(x)$  je popsán funkcí kvadratickou. Z druhé deri-

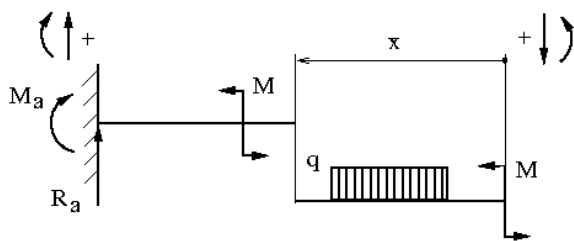
vace funkce  $M(x)$  dále vyplývá, že se jedná o funkci konkávní ( $\frac{d^2 M(x)}{dx^2} < 0$ ). Tato funkce však nenabývá své extrémní hodnoty ve vnitřním bodě intervalu  $\langle d, c+d \rangle$  (viz Schwedlerova věta), ale v jednom z krajních bodů.

K vykreslení těchto funkcí je vhodné provést jejich vyčíslení v krajních bodech pole II, tj. pro  $x = d$  a  $x = c + d$ . Platí

$$\begin{aligned} T_2(d) &= q(d-d) = 0, & T_2(c+d) &= qc = 4000 \text{ N}, \\ M_2(d) &= M - q(d-d) = M = 5000 \text{ Nm}, & M_2(c+d) &= M - \frac{qc^2}{2} = 4200 \text{ Nm}. \end{aligned}$$

Výsledné grafy funkcí (7) v poli II jsou znázorněny na obr. 2.

**Pole III:**  $x \in \langle c+d, b+c+d \rangle$



Obrázek 5

Vzhledem k tomu, že máme již určené reakce  $R_A$  a  $M_A$ , je výhodné určit  $T(x)$  a  $M(x)$  v poli III jako součet vnějších účinků působících vlevo od řezu v místě  $x$  s využitím levé části znaménkové úmluvy (viz obr. 5).

Potom lze funkce  $T_3(x)$  a  $M_3(x)$  vyjádřit ve tvaru

$$\begin{aligned} T_3(x) &= R_A = qc = 4000 \text{ N}, \\ M_3(x) &= M_A - M + R_A(a+b+c+d-x) = \\ &= 2M - qc \left( a + b + \frac{c}{2} \right) - M + qc(a+b+c+d-x) = M + \frac{qc^2}{2} + qc(d-x). \end{aligned} \quad (8)$$

Po vyčíslení funkce momentu  $M_3(x)$  v krajních bodech intervalu dostáváme

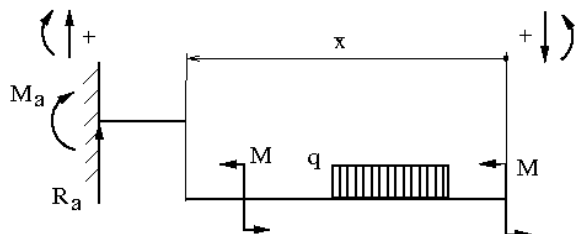
$$M_3(c+d) = M - \frac{qc^2}{2} = 4200 \text{ Nm}, \quad M_3(b+c+d) = M + \frac{qc^2}{2} - qc(b+c) = 3000 \text{ Nm}.$$

Výsledné průběhy funkcí  $T(x)$  a  $M(x)$  v poli III jsou znázorněny na obr. 2.

## OHYB (Napjatost)

Autoři: F. Plánička, M. Zajíček, V. Adámek

**Pole IV:**  $x \in \langle b + c + d, a + b + c + d \rangle$



Obrázek 6

V tomto poli opět s výhodou využijeme znalosti reakcí  $R_A$  a  $M_A$  a vyjádříme  $T_4(x)$  a  $M_4(x)$  jako sumu příslušných účinků vlevo od řezu.

Potom podle obr. 6 bude platit

$$T_4(x) = R_A = qc = 4000 \text{ N}, \quad (10)$$

$$\begin{aligned} M_4(x) &= R_A(a + b + c + d - x) + M_A = \\ &= qc(a + b + c + d - x) + 2M - qc \left( a + b + \frac{c}{2} \right) = 2M + q\frac{c^2}{2} + qc(d - x) \end{aligned} \quad (11)$$

a po vyčíslení

$$M_4(b + c + d) = R_A a + M_A = 8000 \text{ Nm}, \quad M_4(a + b + c + d) = M_A = 6000 \text{ Nm}.$$

Výsledné rozložení  $T(x)$  a  $M(x)$  v poli IV je opět vykresleno do obr. 2.

V dalším kroku řešení úlohy provedeme dimenzování pro zadaný obdélníkový průřez. Pevnostní podmínka má v případě ohybu tvar

$$\sigma_{max} \leq \sigma_D = \frac{\sigma_k}{k}, \quad (12)$$

kde maximální hodnotu napětí  $\sigma_{max}$  v krajních vláknech nosníku určíme ze vztahu  $\sigma_{max} = \frac{M_{max}}{W_o}$ , kde

$$W_o = \frac{1}{6}BH^2 = \frac{1}{6}B \left( \frac{3}{2}B \right)^2 = \frac{3}{8}B^3. \quad (13)$$

Hodnotu  $M_{max}$  určíme snadno z průběhu  $M(x)$  na obr. 2. Z uvedeného obrázku je zřejmé, že  $M_{max} = M_A(b + c + d) = 8000 \text{ Nm}$ . Pomocí vztahu (13) lze (12) přepsat do tvaru

$$\sigma_{max} = \frac{M_{max}}{\frac{3}{8}B^3} \leq \frac{\sigma_k}{k} \Rightarrow B \geq \sqrt[3]{\frac{8kM_{max}}{3\sigma_k}} = \sqrt[3]{\frac{8 \cdot 8000 \cdot 1.5}{3 \cdot 300 \cdot 10^6}} \doteq 0.047 \text{ m} = 47 \text{ mm}. \quad (14)$$

Ze znalosti rozměru  $B$  a zadaného poměru  $\frac{H}{B}$  velmi snadno dopočítáme  $H = 70.5 \text{ mm}$ .

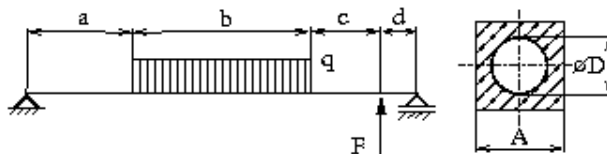
## OHYB (Napjatost)

Autoři: F. Plánička, M. Zajíček, V. Adámek

### Příklad 2:

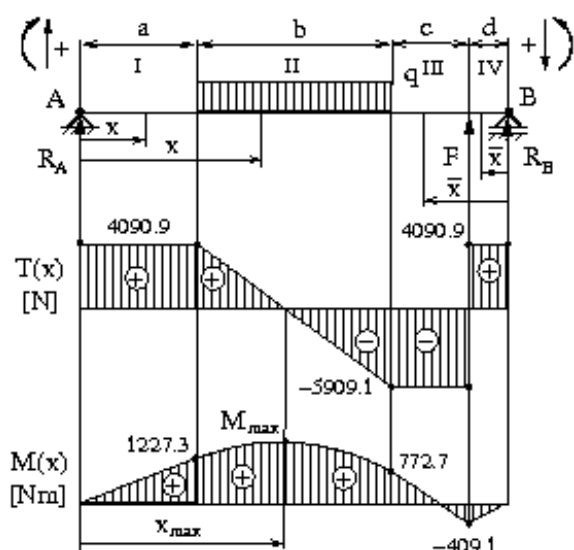
Pro nosník na obrázku vyšetřete a zakreslete reakce,  $T(x)$  a  $M(x)$ . Dále proveďte dimenzování pro zadaný průřez.

Dáno:  $a = 0.3 \text{ m}$ ,  $b = 0.5 \text{ m}$ ,  $c = 0.2 \text{ m}$ ,  $d = 0.1 \text{ m}$ ,  $A/D = 2$ ,  $F = 10 \text{ kN}$ ,  $q = 20 \text{ kN/m}$ ,  $\sigma_D = 90 \text{ MPa}$ .



Obrázek 1

### Řešení:



Obrázek 2

Jako první vyšetříme reakce vznikající ve vazbách. Vzhledem k charakteru zatížení budou v podpěrách vznikat nenulové reakce pouze ve svislém směru. Potom lze jejich velikosti určit např. z momentových podmínek rovnováhy, např. k bodu  $A$  a  $B$ . Reakci  $R_B$  pak určíme z podmínky

$$R_B(a + b + c + d) + F(a + b + c) - qb\left(a + \frac{b}{2}\right) = 0 \quad (1)$$

a dostáváme

$$R_B = \frac{qb\left(a + \frac{b}{2}\right) - F(a + b + c)}{a + b + c + d} \doteq -4090.9 \text{ N}. \quad (2)$$

Analogicky z momentové podmínky k bodu  $B$  ve tvaru

$$R_A(a + b + c + d) - qb\left(d + c + \frac{b}{2}\right) + Fd = 0 \quad (3)$$

určíme velikost  $R_A$  jako

$$R_A = \frac{qb\left(d + c + \frac{b}{2}\right) - Fd}{a + b + c + d} = 4090.9 \text{ N}. \quad (4)$$

Nyní vyšetříme vnitřní silové účinky  $T(x)$  a  $M(x)$  v jednotlivých polích nosníku. Vzhledem k charakteru vnějšího zatížení a typu uložení je nutné nosník rozdělit na 4 pole, tj. např. I až IV. Funkce popisující rozložení  $T(x)$  a  $M(x)$  v jednotlivých polích pak určíme přímo pomocí metody řezu s využitím konvence znázorněné na obr. 2. Při vyšetřování těchto funkcí využijeme orientaci souřadnic  $x$  a  $\bar{x}$  znázorněnou na témže obrázku.

#### Pole I: $x \in \langle 0, a \rangle$

Vnitřní účinky v obecném řezu v poli I ve vzdálenosti  $x$  od bodu  $A$ , určíme jako sumu všech příslušných vnějších účinků po levé straně řezu, tj. využijeme levou část konvence.

## OHYB (Napjatost)

Autoři: F. Plánička, M. Zajíček, V. Adámek

Potom platí

$$T_1(x) = R_A = 4090.9 \text{ N}, \quad M_1(x) = R_A x \quad \Rightarrow \quad \begin{cases} M_1(0) = 0, \\ M_1(a) = R_A a = 1227.3 \text{ Nm}. \end{cases} \quad (5)$$

**Pole II:**  $x \in \langle a, a + b \rangle$

Analogicky jako v předchozím poli vyjádříme  $T_2(x)$  a  $M_2(x)$  jako sumu všech příslušných účinků vlevo od řezu. Lze tedy psát

$$T_2(x) = R_A - q(x - a) \quad \Rightarrow \quad \begin{cases} T_2(a) = R_A = 4090.9 \text{ N}, \\ T_2(a + b) = R_A - qb = -5909.1 \text{ N}, \end{cases} \quad (6)$$

$$M_2(x) = R_A x - q \frac{(x - a)^2}{2} \quad \Rightarrow \quad \begin{cases} M_2(a) = R_A a = 1227.3 \text{ Nm}, \\ M_2(a + b) = R_A(a + b) - \frac{qb^2}{2} = 772.7 \text{ Nm}. \end{cases} \quad (7)$$

Vnitřní silové účinky ve zbývajících polích III a IV vyšetříme pomocí nové proměnné  $\bar{x}$  (viz obr. 2). V obou případech budeme přitom sčítat příslušné vnější účinky vpravo od řezu, tj. použijeme pravou část znaménkové konvence na obr. 2.

**Pole III:**  $\bar{x} \in \langle d, c + d \rangle$

$$T_3(\bar{x}) = -R_B - F = -5909.1 \text{ N}, \quad (8)$$

$$M_3(\bar{x}) = R_B \bar{x} + F(\bar{x} - d) \quad \Rightarrow \quad \begin{cases} M_3(d) = R_B d = -409.1 \text{ Nm}, \\ M_3(c + d) = R_B(c + d) + Fc = 772.7 \text{ Nm}. \end{cases} \quad (9)$$

**Pole IV:**  $\bar{x} \in \langle 0, d \rangle$

$$T_4(\bar{x}) = -R_B = 4090.9 \text{ N}, \quad (10)$$

$$M_4(\bar{x}) = R_B \bar{x} \quad \Rightarrow \quad \begin{cases} M_4(0) = 0, \\ M_4(d) = R_B d = -409.1 \text{ Nm}. \end{cases} \quad (11)$$

Výsledné průběhy  $T(x)$  a  $M(x)$  v polích I - IV jsou vykresleny na obr. 2. Z tvaru funkce  $M_2(x)$  je zřejmé, že se jedná o konkávní parabolu (neboť  $\frac{d^2 M_2(x)}{dx^2} < 0$ ). Tato parabola má své lokální maximum ve vnitřním bodě intervalu  $x \in \langle a, a + b \rangle$ , neboť funkce  $T_2(x)$  nabývá uvnitř tohoto intervalu nulové hodnoty (viz Schwedlerova věta).

Dále je z výše uvedených průběhů momentu zřejmé, že toto maximum funkce  $M_2(x)$  představuje zároveň maximální ohybový moment  $M_{max}$  podél celého nosníku, který je nutné použít pro dimenzování nosníku. Pro hodnotu tohoto momentu tedy platí

$$M_{max} = M_2(x_{max}), \quad (12)$$

kde  $x_{max}$  je souřadnice udávající polohu maxima funkce  $M_2(x)$ , viz obr. 2. Její velikost snadno určíme z podmínky  $T_2(x)_{max} = 0$ , tj.

$$T_2(x_{max}) = R_A - q(x_{max} - a) = 0 \quad \Rightarrow \quad x_{max} = \frac{R_A}{q} + a \doteq 0.5045 \text{ m}. \quad (13)$$

## OHYB (Napjatost)

Autoři: F. Plánička, M. Zajíček, V. Adámek

Potom

$$M_{max} = M_2(x_{max}) = R_A x_{max} - \frac{q(x_{max} - a)^2}{2} = 1645.7 \text{ Nm}. \quad (14)$$

Při vlastním dimenzování vyjdeme z podmínky pevnosti ve tvaru

$$\sigma_{max} \leq \sigma_D, \quad \text{kde} \quad \sigma_{max} = \frac{M_{max}}{W_o}. \quad (15)$$

Vztah pro výpočet modulu průřezu v ohybu  $W_o$  pro zadaný čtvercový průřez s kruhovým otvorem určíme z definice  $W_o$ , tj.

$$W_o = \frac{J_z}{e}, \quad \text{kde} \quad J_z = \frac{A^4}{12} - \frac{\pi D^4}{64}, \quad e = \frac{A}{2} \quad \text{a} \quad \frac{A}{D} = 2 \quad (\text{viz zadání}). \quad (16)$$

Potom lze  $W_o$  vyjádřit jako

$$W_o = \frac{\frac{A^4}{12} - \frac{\pi D^4}{64}}{\frac{A}{2}} = \frac{\frac{(2D)^4}{12} - \frac{\pi D^4}{64}}{D} = \frac{4}{3} D^3 - \frac{\pi D^3}{64} = D^3 \left( \frac{4}{3} - \frac{\pi}{64} \right). \quad (17)$$

Pevnostní podmínku potom můžeme zapsat ve tvaru

$$\frac{M_{max}}{D^3 \left( \frac{4}{3} - \frac{\pi}{64} \right)} \leq \sigma_D, \quad (18)$$

odkud vyplývá

$$D \geq \sqrt[3]{\frac{M_{max}}{\sigma_D \left( \frac{4}{3} - \frac{\pi}{64} \right)}}. \quad (19)$$

po vyčíslení vztahu (19) dostáváme velikost hledaného průměru  $D \doteq 24.2$  mm. Zbývající charakteristický rozměr  $A$  snadno dopočítáme ze zadaného poměru  $A/D$  jako  $A = 2D = 48.2$  mm.

## OHYB (Napjatost)

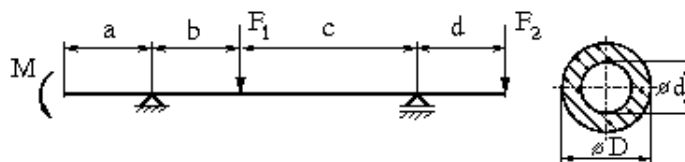
Autoři: F. Plánička, M. Zajíček, V. Adámek

### Příklad 3:

Pro nosník s převislými konci určete reakce, vyšetřete a zakreslete průběh vnitřní posouvající síly  $T$  a vnitřního ohybového momentu  $M$  a dimenzujte pro mezikruhový průřez.

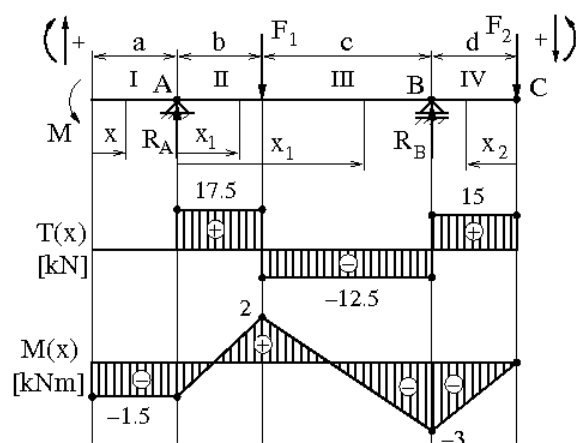
Dáno:  $F = 15 \text{ kN}$ ,  $a = 0.2 \text{ m}$ ,  $Re =$

$300 \text{ MPa}$ ,  $k = 1.5$ ,  $b = a$ ,  $c = 2a$ ,  $d = a$ ,  $M = \frac{1}{2}Fa$ ,  $F_1 = 2F$ ,  $F_2 = F$ ,  $\frac{d}{D} = \frac{4}{5}$ .



Obrázek 1

### Řešení:



Obrázek 2

Jako první krok při řešení příkladu provedeme stanovení velikostí jednotlivých reakcí v uložení nosníku (rotační vazba v bodě A a obecná vazba v bodě B, viz obr. 2). Vnější síly  $F_1$ ,  $F_2$  způsobí v uložení nosníku nenulové reakce pouze ve svislém směru. Označme tyto reakce  $R_A$  a  $R_B$  a zvolme jejich orientaci např. podle obr. 2. Velikost těchto reakcí určíme z podmínek rovnováhy vnějších účinků na celém nosníku. Podle silové podmínky rovnováhy ve svislém směru a podle momentové podmínky rovnováhy k bodu A platí

$$R_A + R_B - F_1 - F_2 = 0, \quad (1)$$

$$M - F_1 b + R_B(b + c) - F_2(b + c + d) = 0. \quad (2)$$

Z rovnice (2) vyjádříme reakci  $R_B$  a po dosazení zadaných hodnot dostáváme

$$\begin{aligned} R_B &= \frac{1}{b + c} [F_1 b + F_2(b + c + d) - M] = \frac{1}{a + 2a} \left[ 2Fa + F(a + 2a + a) - \frac{1}{2}Fa \right] = \\ &= \frac{11}{6}F = 27.5 \text{ kN}. \end{aligned} \quad (3)$$

Po dosazení (3) do silové podmínky rovnováhy (1) vyjádříme  $R_A$  ve tvaru

$$R_A = F_1 + F_2 - R_B = 2F + F - \frac{11}{6}F = \frac{7}{6}F = 17.5 \text{ kN}. \quad (4)$$

V dalším kroku řešení vyšetříme pomocí metody řezu vnitřní silové účinky. Je zřejmé, že v tomto případě bude vhodné rozdělit nosník na čtyři části. Zvolme souřadnicový systém v jednotlivých částech nosníku v souladu s obr. 2. Potom pro vnitřní silové účinky v první části nosníku, vyjádřené jako součet příslušných vnějších účinků po levé straně řezu a při respektování levé části znaménkové úmluvy, platí



## OHYB (Napjatost)

Autoři: F. Plánička, M. Zajíček, V. Adámek

**Pole I:**  $x \in \langle 0, a \rangle$

$$T_1(x) = 0, \quad M_1(x) = -M = -\frac{1}{2}Fa = -1.5 \text{ kNm}. \quad (5)$$

Pro část II je výhodné zvolit novou souřadnici  $x_1$  s počátkem v bodě A, viz obr. 2. Pak podobně jako v poli I můžeme vnitřní účinky v tomto poli vyjádřit jako

**Pole II:**  $x_1 \in \langle 0, b \rangle$

$$T_2(x_1) = R_A = 17.5 \text{ kN}, \quad (6)$$

$$M_2(x_1) = R_A x_1 - M \Rightarrow \begin{cases} M_2(0) = -M = -1.5 \text{ kNm}, \\ M_2(b) = \frac{7}{6}Fb - \frac{1}{2}Fa = \frac{2}{3}Fa = 2 \text{ kNm}. \end{cases} \quad (7)$$

Pro vyšetření vnitřních účinků v části III využijeme opět proměnné  $x_1$ . Potom

**Pole III:**  $x_1 \in \langle b, b + c \rangle$

$$T_3(x_1) = R_A - F_1 = \frac{7}{6}F - 2F = -\frac{5}{6}F = -12.5 \text{ kN}, \quad (8)$$

$$M_3(x_1) = -M + R_A x_1 - F_1(x_1 - b) \Rightarrow \begin{cases} M_3(b) = -\frac{1}{2}Fa + \frac{7}{6}Fb = \frac{2}{3}Fa = 2 \text{ kNm}, \\ M_3(b + c) = -\frac{1}{2}Fa + \frac{7}{6}F(b + c) - F_1 c = \\ = -Fa = -3 \text{ kNm}. \end{cases} \quad (9)$$

Při vyšetřování vnitřních účinků v poli IV se jeví jako nevhodné sčítat vnější účinky po levé straně řezu. Vyskytuje se zde totiž řada vnějších účinků a výsledné funkce  $T_4$  a  $M_4$  by tak měly zbytečně komplikovaný tvar. Proto při hledání vnitřních účinků budeme sčítat vnější účinky na pravé části nosníku od místa řezu s respektováním pravé části znaménkové úmluvy pro vnitřní účinky a dále zavedeme novou souřadnici  $x_2$  s počátkem v bodě C (viz obr. 2). Potom můžeme psát

**Pole IV:**  $x_2 \in \langle 0, d \rangle$

$$T_4(x_2) = F_2 = F = 15 \text{ kN}, \quad (10)$$

$$M_4(x_2) = -F_2 x_2 = -F x_2 \Rightarrow \begin{cases} M_4(0) = 0, \\ M_4(d) = -Fd = -Fa = -3 \text{ kNm}. \end{cases} \quad (11)$$

Pomocí vztahů (5) až (11) lze vykreslit průběh vnitřní posouvající síly a vnitřního ohybového momentu na nosníku. Průběhy jsou zobrazeny na obr. 2.

V dalším kroku řešení přistoupíme k dimenzování nosníku. Vzhledem k tomu, že je zadaná hodnota součinitele bezpečnosti  $k$  vyjádřena k mezi kluzu  $Re$ , jedná se o materiál

## OHYB (Napjatost)

Autoři: F. Plánička, M. Zajíček, V. Adámek

houževnatý. To ale znamená, že velikosti dovoleného napětí v tahu i v tlaku jsou stejné a lze je vyjádřit ve tvaru

$$\sigma_D = \frac{Re}{k} = 200 \text{ MPa.} \quad (12)$$

Dále lze říci, že díky symetrii průřezu vůči neutrální ose budou velikosti maximálních napětí v tahu a v tlaku v daném řezu stejné. Největší napětí  $\sigma_{max}$  bude proto působit v řezu, ve kterém je velikost vnitřního ohybového momentu největší. Velikost tohoto momentu  $M_{max}$  snadno určíme z obr. 2 jako

$$M_{max} = |M_3(b+c)| = |M_4(d)| = 3 \text{ kNm.} \quad (13)$$

Potom lze maximální ohybové napětí vyjádřit pomocí vztahu

$$\sigma_{max} = \frac{M_{max}}{W_o}, \quad (14)$$

kde pro modul průřezu v ohybu  $W_o$  pro mezikruhový průřez platí

$$W_o = \frac{J_z}{\frac{D}{2}} = \frac{2}{D} \left( \frac{\pi}{64} D^4 - \frac{\pi}{64} d^4 \right) = \frac{\pi}{32} D^3 \left[ 1 - \left( \frac{d}{D} \right)^4 \right] = \frac{\pi}{32} D^3 \left[ 1 - \left( \frac{4}{5} \right)^4 \right] = \frac{369\pi}{2 \cdot 10^4} D^3. \quad (15)$$

Má-li být v nejvíce namáhaném místě napětí  $\sigma_D$ , musí platit

$$\sigma_{max} = \sigma_D. \quad (16)$$

Dosazením (12) až (15) do (16), úpravou a vyjádřením vnějšího průřezu  $D$  dostáváme

$$D = \sqrt[3]{\frac{20 \cdot 10^3 M_{max}}{369\pi\sigma_D}} = \sqrt[3]{\frac{20 \cdot 10^3 \cdot 3 \cdot 10^3}{369\pi \cdot 200 \cdot 10^6}} \doteq 0.064 \text{ m} = 64 \text{ mm.} \quad (17)$$

Vnitřní průměr je potom  $d = \frac{4}{5}D = 51.2 \text{ mm}$ .

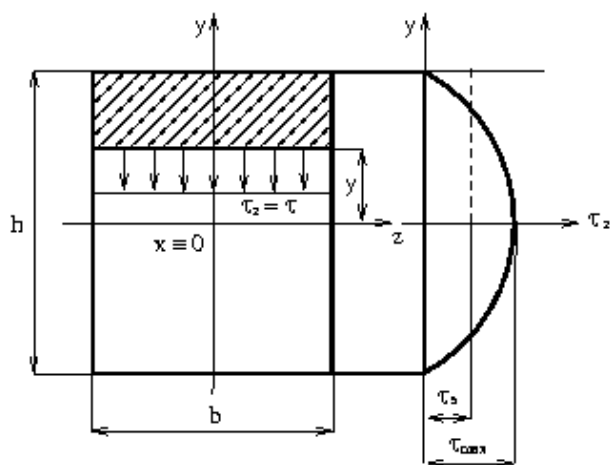
## OHYB (Napjatost)

Autoři: F. Plánička, M. Zajíček, V. Adámek

### Příklad 4:

Vyšetřete průběh smykového napětí u obdélníkového průřezu.

### Řešení:



Obrázek 1

Pro  $h/b \geq 2$  platí Žuravského rovnice

$$\tau_z = \frac{T(x) U_y}{b_y J_z}. \quad (1)$$

Pro obdelníkový průřez můžeme ale psát

$$b_y = b \quad \text{a} \quad J_z = \frac{1}{12} b h^3. \quad (2)$$

Lineární (statický) moment  $U_y$  potom vy počteme jako

$$\begin{aligned} U_y &= b \left( \frac{h}{2} - y \right) \frac{1}{2} \left( \frac{h}{2} + y \right) = \\ &= \frac{b}{2} \left( \frac{h^2}{4} - y^2 \right) = \frac{b h^2}{8} \left( 1 - \frac{4y^2}{h^2} \right). \end{aligned} \quad (3)$$

Dosazením vztahu (3) do vztahu (1) lze napětí  $\tau_z$  vyjádřit jako

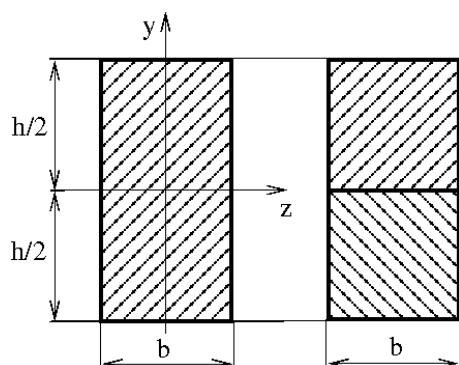
$$\tau_z = \frac{T(x) b h^2}{b \frac{1}{12} b h^3} \frac{1}{8} \left( 1 - \frac{4y^2}{h^2} \right) = \frac{3 T(x)}{2 b h} \left( 1 - \frac{4y^2}{h^2} \right), \quad (4)$$

nebo

$$\tau_z = \frac{3}{2} \tau_s \left( 1 - \frac{4y^2}{h^2} \right), \quad \text{kde} \quad \tau_s = \frac{T(x)}{b h}. \quad (5)$$

Z výše uvedených vztahů je zřejmé, že

$$\tau_z = 0 \quad \text{pro} \quad y = \pm \frac{h}{2} \quad \text{a} \quad \tau_z = \tau_{max} = \frac{3}{2} \tau_s \quad \text{pro} \quad y = 0. \quad (6)$$



Obrázek 2

Na základě uvedeného výsledku rozhodněte, zda lze z hlediska tuhosti nahradit nosník obdélníkového průřezu o rozměrech  $h, b$  dvěma nosníky průřezu  $\frac{h}{2}, b$  (viz obr. 2). Své rozhodnutí zdůvodněte.